

Kleine Schwingungen vieler Freiheitsgrade

(256) 29.4.08

[KSchw10]

Betrachte System mit f Freiheitsgraden: (z.B. N Teilchen in 3 Dim: $f = 3N$)

Koordinaten:

$$\begin{matrix} \mathbf{q} \in \mathbb{R}^f \\ \mathbf{q} = (q_1, \dots, q_f) \end{matrix} \quad \text{z.B. } (\tau_{1x}, \tau_{1y}, \tau_{1z}, \dots, \tau_{Nx}, \tau_{Ny}, \tau_{Nz}) \quad (1)$$

Geschwindigkeiten:

$$\begin{matrix} \dot{\mathbf{q}} \in \mathbb{R}^f \\ \dot{\mathbf{q}} = (\dot{q}_1, \dots, \dot{q}_f) \end{matrix} \quad \text{Bilden } 2f\text{-dimensionalen "Phasoraum"} \quad (2)$$

Kinetische Energie:

$$T = \frac{1}{2} \sum_{i=1}^f m_i \dot{q}_i^2 = \frac{1}{2} \sum_{ij} \dot{q}_i \hat{T}_{ij} \dot{q}_j = \frac{1}{2} \mathbf{\dot{q}}^T \hat{T} \mathbf{\dot{q}} \quad (3)$$

$$T: \mathbb{R}^f \rightarrow \mathbb{R}$$

"Massenmatrix"

Diag. für cartesische Kord.

$$\hat{T}_{ij} = \begin{pmatrix} m_1 & & & \\ & m_2 & & \\ & & \ddots & \\ 0 & & & m_f \end{pmatrix} = \delta_{ij} m_j \quad (4)$$

Nebenbemerkung:

Bei fortgeschrittenen Anwendungen (Lagrange, verallgemeinerte Koordinaten), ist \hat{T}_{ij} im allg. nicht-diag., aber stets symmetrisch, mit positiven Eigenwerten.

Wir betrachten hier jedoch nur den (naheliegensten) Fall, $\hat{T}_{ij} = m_i \delta_{ij}$.

Potentielle Energie:

$$U = U(q_1, \dots, q_f) \quad (1) \quad [KSchw11]$$

Bewegungsgl:

$$m_i \ddot{q}_i = - \frac{\partial U}{\partial q_i} \quad (2)$$

Def:

Gleichgewichtslagen (Fixpunkte) sind zeitunabhängige Lösungen der Bewegungsgleichung:

$$q = q_0 = \text{konst.}, \quad \dot{q} = 0, \quad \ddot{q} = 0 \quad (3)$$

Explizit:

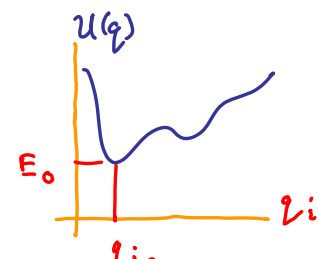
$$q_i = q_{i0} = \text{konst.} \quad \forall i = 1, \dots, f \quad (4)$$

(3) in (2):

$$\left(\frac{\partial U}{\partial q_i} \right)_0 := \left. \frac{\partial U}{\partial q_i} \right|_{q=q_0} = 0 \quad \forall i = 1, \dots, f \quad (5)$$

Energie am Fixpunkt:

$$E_0 = U(q_0) \quad (6)$$



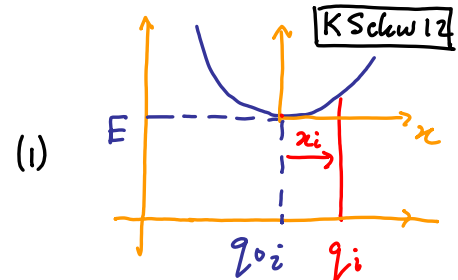
Umgebung eines Fixpunktes:

'Entwickle U um q_0 herum,'
[d.h. $x_i = q_i - q_{i0}$, etc.]

$$\begin{aligned} \underline{x} &= \underline{q} - \underline{q}_0 \\ \dot{\underline{x}} &= \dot{\underline{q}} \end{aligned} \quad \left. \begin{array}{l} \text{seien} \\ \text{klein} \end{array} \right\}$$

Taylor-Entwicklung
des Potentials
in f Koordinaten
bis zur quadratischen
Ordnung in \underline{x} :

Höhere Terme vernachlässigbar
bei kleinen Auslenkungen:



$$U(\underline{q}) = \left\{ \begin{array}{l} \stackrel{(II.6)}{\rightarrow} E_0 = 0 \\ U(q_0) + \sum_{i=1}^f \left(\frac{\partial U}{\partial q_i} \right)_0 x_i + \frac{1}{2} \sum_{ij} \left(\frac{\partial^2 U}{\partial q_i \partial q_j} \right)_0 x_i x_j \end{array} \right. \quad (2)$$

$$+ \Theta(x^3) \quad (\text{enthält } x_i^3, x_i^2 x_j, \text{etc.})$$

$$\text{Ohne Verlust der Allgemeinheit wählen wir: } E_0 = 0, \quad q_0 = 0 = (0, 0, \dots, 0) \quad (3)$$

In Matrix-Notation:

$$\begin{aligned} U &= \frac{1}{2} \sum_{ij} x_i \hat{V}_{ij} x_j = \frac{1}{2} (\underline{x}_1, \dots, \underline{x}_f) \begin{pmatrix} V_{11} & \dots & V_{1f} \\ \vdots & & \vdots \\ V_{f1} & \dots & V_{ff} \end{pmatrix} \begin{pmatrix} x_1 \\ \vdots \\ x_f \end{pmatrix} \\ &= \frac{1}{2} \underline{x}^T \hat{V} \underline{x} \end{aligned} \quad (4)$$

Bewegungsgleichung:

$$\frac{d}{dt} \frac{\partial \underline{q}}{\partial \underline{x}} = \frac{d}{dt} \underline{x}$$

$$\begin{aligned} m_i \ddot{x}_i &\stackrel{(II.2)}{=} - \frac{\partial U}{\partial q_i} \stackrel{(II.4)}{=} \sum_{k=1}^f \underbrace{\frac{\partial U}{\partial x_k} \frac{\partial x_k}{\partial q_i}}_{= \sum_j \hat{V}_{kj} x_j} = \delta_{ki} \\ m_i \ddot{x}_i &= - \sum_j \hat{V}_{ij} x_j \end{aligned} \quad (1)$$

In Matrix-Notation:

$$\hat{T} \ddot{\underline{x}} + \hat{V} \underline{x} = 0 \quad (\text{Vergleiche Gl. 4.5}) \quad (3)$$

Gl. (3) sind f lineare, homogene DGL. 2. Ordnung mit konst. Koeff.

Diese Vereinfachungen wurden erreicht durch Vernachlässigung der $O(x^3)$ -Terme!

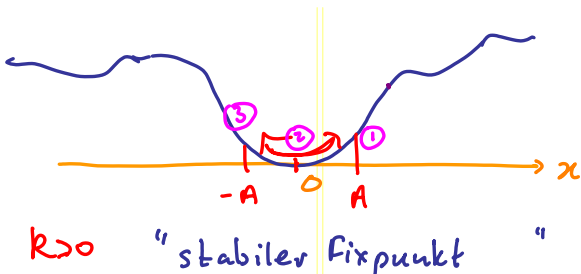
Beispiele: $f=1$

$$T = \frac{1}{2} m \dot{q}^2 \rightarrow T_{ij} \rightarrow m \quad (4)$$

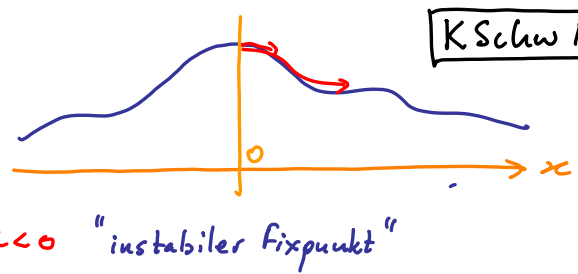
$$U(\underline{q}) = U_0 + \frac{1}{2} k x^2 + O(x^3) \Rightarrow V_{ij} \rightarrow k \quad (5)$$

(3)

$$m \ddot{x} + k x = 0 \quad [\text{falls } k > 0: \text{HD mit } \omega_0 = \sqrt{k/m}] \quad (6)$$



$k > 0$ "stabiler Fixpunkt"



$k < 0$ "instabiler Fixpunkt"

$k > 0$:

$$\text{Lösung: } q(t) = A \cos(\omega_0 t + \delta) \quad (1)$$

$$\dot{q}(t) = -A \omega_0 \sin(\omega_0 t + \delta) \quad (2)$$

$$\frac{U(q) - U(q_0)}{U(q_0)} \ll 1 \Rightarrow \text{d.h. } (q \in [-A, A]) \quad (3)$$

T (Annahme: $U(q_0) \neq 0$).

Energie-Erhaltung:

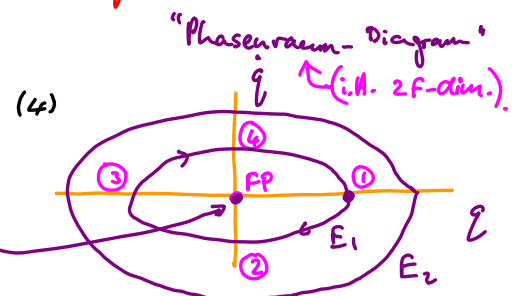
$$ax^2 + b\dot{x}^2 = \tau$$

System folgt Ellipse
im (q, \dot{q}) -Phasenraum:

$$\text{Kons.} = E(q, \dot{q})$$

$$= \frac{1}{2} m \dot{q}^2(t) + \frac{1}{2} k q^2(t)$$

"Elliptischer Fixpunkt" (FP):
 $(q, \dot{q}) = (q_0, 0)$



$k < 0$:

Allg. Lösung:

$$\begin{bmatrix} \frac{\partial x}{\partial t} \cosh x = \sinh x \\ \frac{\partial x}{\partial t} \sinh x = \cosh x \end{bmatrix}$$

$$\cosh x = \cos ix$$

$$\sinh x = -i \sin ix$$

$$\ddot{x} - \omega_0^2 x \stackrel{(13.3)}{=} 0 \quad (1)$$

$$q(t) = A \cosh(\omega_0 t + \delta)$$

$$\dot{q}(t) = A \omega_0 \sinh(\omega_0 t + \delta)$$

$$\ddot{q}(t) = A \omega_0^2 \cosh(\omega_0 t + \delta)$$

K Schw 15

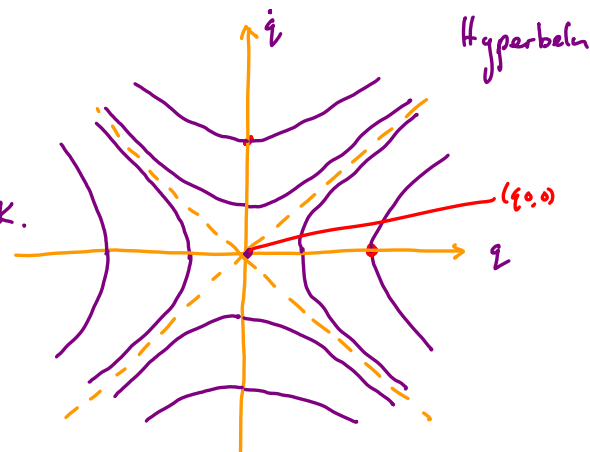
$$\cosh x = \frac{e^x + e^{-x}}{2}$$

$$\sinh x = \frac{e^x - e^{-x}}{2}$$

System folgt Hyperbel im Phasenraum:

"Hyperbolischer Fixpunkt"

Harmonische Näherung nur für kurze Zeiten OK.
($\omega_0 t \lesssim 1$)

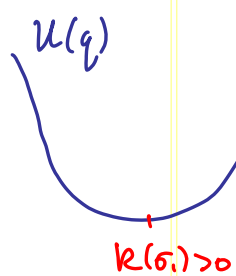
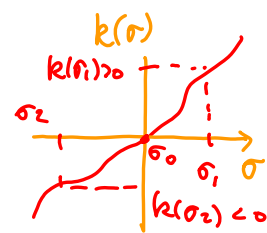


Betrachte $U = U(q, \sigma)$, mit σ = Verstellbarer Parameter

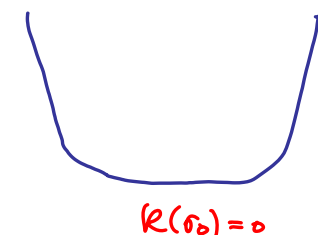
KSchw 16

Änderung v. σ kann Charakter des Fixpunkts ändern:

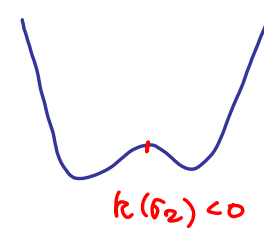
Harmonische Näherung: $U(q, \sigma) =$



stabiler
Fixpunkt



kritischer (oder marginaler)
Fixpunkt



instabiler
Fixpunkt

"Bifurkation"

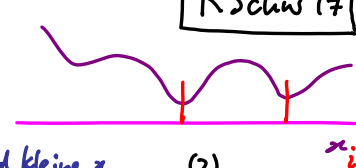
Zurück zur allg. Gleichung: $(\sum_j \text{ ist impliziert})$

$$T_{ij} \ddot{x}_j + V_{ij} x_j = 0 \quad (1)$$

KSchw 17

Bedingung für stabiles
Gleichgewicht:

$$U(q_0) < U(q_0 + x) \text{ f. alle genügend kleine } x \quad (2)$$



\Rightarrow (12.2)

$$0 < \frac{1}{2} \sum_i x_i V_{ij} x_j \quad (3)$$

Kurznotation:
(Matrixmultiplikation ist implizit)

$$= \frac{1}{2} \mathbf{x}^T \hat{V} \mathbf{x} \quad (\dots) \begin{pmatrix} \cdot & \cdot & \cdot \\ \vdots & \ddots & \vdots \\ \cdot & \cdot & \cdot \end{pmatrix} \begin{pmatrix} \cdot \\ \vdots \\ \cdot \end{pmatrix} \quad (4)$$

Transformiere zur
Eigenbasis von V :

$$= \frac{1}{2} \underbrace{\mathbf{x}^T D^{-1}}_{=} \underbrace{\hat{V} D^{-1}}_{=} \underbrace{\mathbf{x}}_{=} \quad (5)$$

$$\hat{V} = D^{-1} \hat{V} D = \text{diagonal} = (\dots)$$

$$= \frac{1}{2} \tilde{\mathbf{x}}^T \hat{V} \tilde{\mathbf{x}} \quad (\dots) \begin{pmatrix} \bullet & 0 & 0 \\ 0 & \bullet & 0 \\ 0 & 0 & \bullet \end{pmatrix} \begin{pmatrix} \tilde{\mathbf{x}} \\ \vdots \\ \tilde{\mathbf{x}} \end{pmatrix} \quad (6)$$

$$\tilde{\mathbf{x}} = D^{-1} \mathbf{x}$$

$$= \frac{1}{2} \sum_i \underbrace{\tilde{V}_{ii}}_{\text{Diagonalelemente}} \tilde{x}_i^2 \Rightarrow \tilde{V}_{ii} > 0 \quad (7)$$

$$(\dots) = (\dots)(\dots)$$

(3) erfordert: Eigenwerte v. V sind positiv! "V ist positiv-definite Matrix" (8a)

Ferner gilt auch allgemein: \hat{V} ist positiv-definite Matrix (8b)

Allg. Lösungsverfahren
für Gl. (17.1):

$$T_{ij} \ddot{x}_j + V_{ij} \dot{x}_j = 0$$

(1)

KSchw18

Komplexer Lösungs Ansatz:

Schreibe: $x(t) = \operatorname{Re}(X(t))$, mit $X(t) = A e^{-i\omega t}$

(2)

$$A = \begin{pmatrix} A_1 \\ \vdots \\ A_f \end{pmatrix}$$

(Vorzeichen: meine Konvention)

und fordere

$$T_{ij} \ddot{x}_j + V_{ij} \dot{x}_j = 0 \quad (3) \quad (\text{denn } \operatorname{Re}(3) \Rightarrow (1))$$

(2) in (3):

$$e^{-i\omega t} \sum_j (-\omega^2 T_{ij} + V_{ij}) A_j = 0 \quad (4)$$

Matrix-Notation für (4):

$$(\hat{V} - \omega^2 \hat{T}) A = 0 \quad (\text{Eigenwertproblem}) \quad (5)$$

Nicht-triviale Lösung
erfordert:

$$\det | \hat{V} - \omega^2 \hat{T} | = 0 \quad (6)$$

$$\left| \begin{array}{c} \dots \\ \dots \\ \dots \\ \dots \end{array} \right| - \omega^2 \left(\begin{array}{c} \dots \\ \dots \\ \dots \\ \dots \end{array} \right)$$

charakteristisches Polynom:
(2.8.5b.4)

$$P^f(\omega^2) = 0 \quad (7)$$

Polynom von Grad f mit reellen Koeffizienten

Nullstellen von P^f :

$\omega_{(\alpha)}^2, \alpha = 1, \dots, f$ sind "Eigenfrequenzen" von (18.5)
im Allgemeinen komplex

KSchw19

Eigenvektoren $A^{(\alpha)}$ erfüllen die Gl:

$$\sum_j (V_{ij} - \omega_{(\alpha)}^2 T_{ij}) A_j^{(\alpha)} = 0 \quad (18.5)$$

Entsprechende Lösung
v. (18.3) lautet:

$$X^{(\alpha)}(t) = A^{(\alpha)} e^{-i\omega_{(\alpha)} t} \quad \text{"Eigenmode, Eigenschwingung"} \quad (3)$$

\hat{T} ist positiv-definit;

kann gezeigt werden

(4)

Falls auch \hat{V} positiv-definit ist,
sind Wurzeln v. $P^f(\omega^2)$ positiv:
(gilt für stabiles Gleichgewicht, siehe 17.8)

$$\omega_{(\alpha)}^2 \geq 0, \Rightarrow \omega_{(\alpha)} = \text{real} \Rightarrow \bar{x}^{(\alpha)}(t) \approx \text{Oszillation}$$

\Rightarrow (stabiles GGW)

Ansonsten sind Wurzeln negativ:
oder komplex: $\operatorname{Im}(\omega_{(\alpha)}^2) \neq 0$

In beiden Fällen gilt: $\operatorname{Im}(\omega_{(\alpha)}) \neq 0$

$$\text{schreibe } \omega_{(\alpha)} = \omega_{(\alpha)}^R + i \omega_{(\alpha)}^I$$

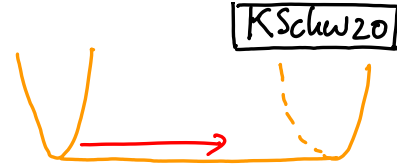
folglich:

$$\bar{x}^{(\alpha)}(t) = \operatorname{Re} \bar{X}^{(\alpha)}(t) \stackrel{(18.2)}{=} \bar{A}^{(\alpha)} \underbrace{e^{-i\omega_{(\alpha)} t}}_{\sim e^{\omega_{(\alpha)}^I t}} + \bar{A}^{(\alpha)*} \underbrace{e^{i\omega_{(\alpha)} t}}_{\sim e^{-\omega_{(\alpha)}^I t}} \stackrel{\omega_{(\alpha)}^R, \omega_{(\alpha)}^I \in \mathbb{R}}{\xrightarrow{t \rightarrow \infty}} \infty$$

Sonderfall: $\omega^{(\alpha)} = 0$:

dann liefert (19.2)

$$\sum_j V_{ij} A_j^{(\alpha)} = 0 \quad (1)$$



\Rightarrow Potential ändert sich nicht in $A^{(\alpha)}$ -Richtung

(ist zu bestimmen)

Ansatz zur Lösung v. (18.1): $x_j(t) = A_j^{(\alpha)} f(t)$ (2)

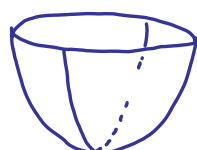
Eingesetzt: $0 = \stackrel{(18.1)}{=} T_{ij} \ddot{x}_j + V_{ij} x_j$ (3)

$$= T_{ij} A_j^{(\alpha)} \ddot{f}(t) + \underbrace{V_{ij} A_j^{(\alpha)}}_{(1) = 0} F(t) \quad (4)$$

$$\Rightarrow f(t) = c_1 t + c_2 \quad (5)$$

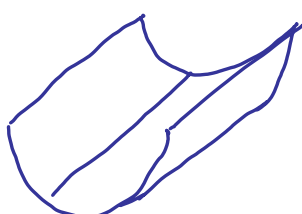
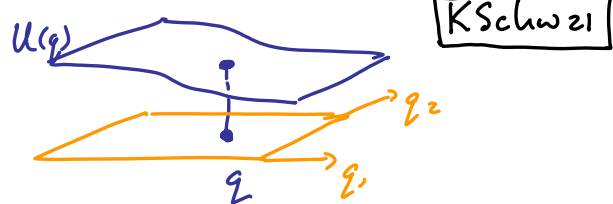
$\omega^{(\alpha)} = 0 \Rightarrow$ gleichförmige Bewegung in $A^{(\alpha)}$ -Richtung! (statt Oszillationen)

Beispiele für $f=2$:



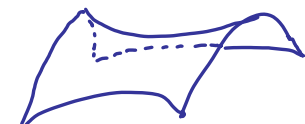
Minimum

$$\omega_{(1)}^2 > 0, \omega_{(2)}^2 > 0$$



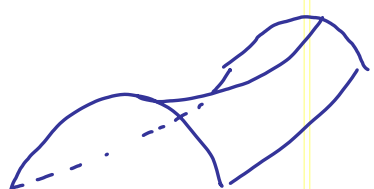
Rinne

$$\omega_{(1)}^2 > 0, \omega_{(2)}^2 = 0$$



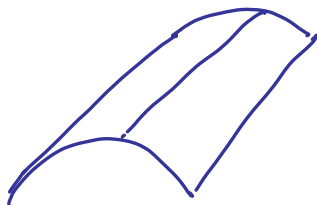
Sattel

$$\omega_{(1)}^2 > 0, \omega_{(2)}^2 < 0$$



Sattel

$$\omega_{(1)}^2 < 0, \omega_{(2)}^2 > 0$$



Tunnel

$$\omega_{(1)}^2 < 0, \omega_{(2)}^2 = 0$$



Maximum

$$\omega_{(1)}^2 < 0, \omega_{(2)}^2 < 0$$